

# MgO-B<sub>2</sub>O<sub>3</sub>-SiO<sub>2</sub>渣系组成对硼提取率的影响<sup>①</sup>

张培新 罗冬梅 隋智通

(东北大学冶金系, 沈阳 110006)

马荣骏

(长沙矿冶研究院, 长沙 410012)

## 摘要

采用化学分析、X射线衍射技术(XRD)等方法研究了MgO-B<sub>2</sub>O<sub>3</sub>-SiO<sub>2</sub>三元渣系组成对硼提取率的影响。研究结果表明:渣组成在三元相图中2MgO·B<sub>2</sub>O<sub>3</sub>和2MgO·SiO<sub>2</sub>连线附近,硼提取率高;偏离连线愈远,硼提取率愈低。利用多元线性回归建立了硼提取率与组成之间的数学模型,模型与实验结果相吻合。

**关键词:**含硼渣组成 硼提取率 碱度

硼镁铁矿经高炉冶炼完成铁—硼分离后,90%硼富集到渣相,使含硼渣成为提硼的“原料”,不再是“废料”。因此,有效地从硼渣中提取硼是十分关键和重要的问题。在研究了硼渣中含硼组分分析出行为、晶核剂对硼渣中含硼组分性质以及硼提取率影响的基础上<sup>[1,2]</sup>,本文进一步探讨渣组成对硼提取率的影响。

## 1 实验

### 1.1 原料

实验所用原料:B<sub>2</sub>O<sub>3</sub>、MgO、SiO<sub>2</sub>均为分析纯试剂,渣样组成见表1。

表1 渣样组成

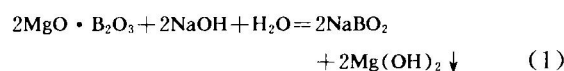
编 号	组成(wt.-%)			编 号	组成(wt.-%)			编 号	组成(wt.-%)		
	MgO	SiO <sub>2</sub>	B <sub>2</sub> O <sub>3</sub>		MgO	SiO <sub>2</sub>	B <sub>2</sub> O <sub>3</sub>		MgO	SiO <sub>2</sub>	B <sub>2</sub> O <sub>3</sub>
1	40	30	30	8	53	22	25	15	55	18	27
2	45	25	30	9	54	26	20	16	56	24	20
3	45	30	25	10	55	15	30	17	57	28	15
4	50	20	30	11	55	20	25	18	60	15	25
5	50	25	25	12	55	25	20	19	60	20	20
6	50	30	20	13	55	30	15				
7	52	23	25	14	55	28	17				

### 1.2 渣样制备

原料经干燥脱水后,按表1配制试样,充分研磨混匀后置于石墨坩埚,在感应炉中快速熔化后于空气中冷却至室温。

#### 1.3 硼提取率测定

采用常压碱解法测定渣样的硼提取率,原理如下:在常压及定温下,硼镁复合氧化物与氢氧化钠反应,生成可溶于水的偏硼酸钠(NaBO<sub>2</sub>)和不溶于水的氢氧化镁。反应方程式为



$$\text{硼提取率} = [(A - B)/A] \times 100\% \quad (2)$$

式中 A—碱解前 B<sub>2</sub>O<sub>3</sub> 的百分含量;

B—滤渣中残余 B<sub>2</sub>O<sub>3</sub> 的百分含量

#### 1.4 X射线衍射分析

粉末试样经XRD鉴定,确定物相组成。

## 2 结果

### 2.1 组成对硼提取率的影响

图1及表2给出了硼提取率与组成的实验测定值。结果表明:渣组成在2MgO·B<sub>2</sub>O<sub>3</sub>和2MgO·SiO<sub>2</sub>连线附近时,硼提取率很高;而在

① 国家自然科学基金资助项目

收稿日期:1993年5月25日;修回日期:1993年8月15日

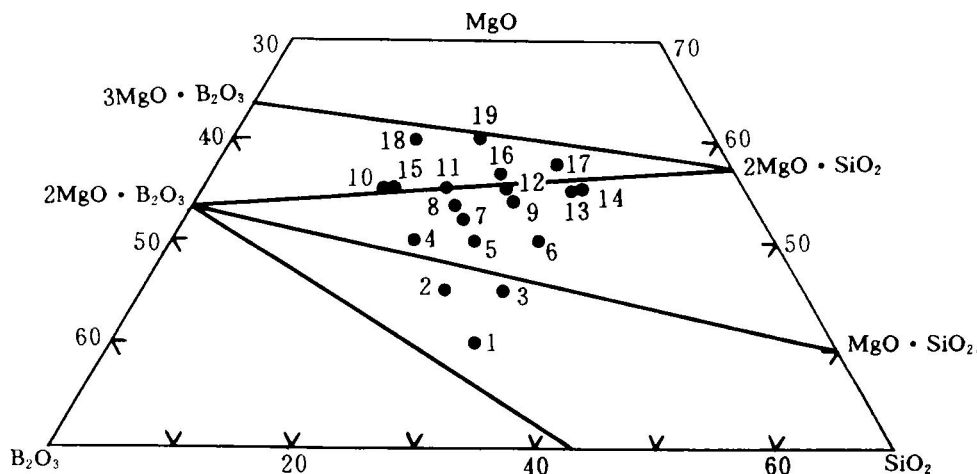


图1 组成—碱度—硼提取率关系

$3\text{MgO} \cdot \text{B}_2\text{O}_3$  和  $2\text{MgO} \cdot \text{SiO}_2$  连线附近, 硼提取率也较高; 偏离  $2\text{MgO} \cdot \text{B}_2\text{O}_3$  和  $2\text{MgO} \cdot \text{SiO}_2$  连线愈远, 硼提取率愈低。

表2 不同组成的硼提取率和碱度

编号	硼提取率		硼提取率		硼提取率		碱度	
	%	碱度	编号	%	碱度	编号	%	碱度
1	66.9	0.7	8	89.6	1.1	15	88.8	1.2
2	73.4	0.8	9	89.5	1.2	16	89.2	1.3
3	75.4	0.8	10	88.6	1.2	17	82.7	1.3
4	80.4	1.0	11	91.2	1.2	18	82.3	1.5
5	88.0	1.0	12	91.6	1.2	19	74.1	1.5
6	86.8	1.0	13	94.1	1.2			
7	87.4	1.1	14	91.7	1.2			

## 2.2 X射线衍射分析

1, 12, 18号样品XRD分析结果如图2所示。1号样品是典型的玻璃态, 12号样品 $2\text{MgO} \cdot \text{B}_2\text{O}_3$ 和 $2\text{MgO} \cdot \text{SiO}_2$ 是主晶相, 18号样品 $3\text{MgO} \cdot \text{B}_2\text{O}_3$ 和 $2\text{MgO} \cdot \text{SiO}_2$ 为主晶相。

## 3 讨论

### 3.1 硼提取率与组成间数学模型的建立

根据表1实验结果, 利用多元线性回归法, 建立硼提取率与组成间数学模型如式(3):

$$Y = -0.011 + 4.7X_1 - 0.059X_1^2 \\ - 0.17X_2X_3 + 0.0033X_1X_2X_3 \quad (3)$$

式中  $Y$  为硼提取率;  $X_1$ ,  $X_2$ ,  $X_3$  分别为

表3 计算值与实验数据比较

编 号	组 成(wt.-%)			计算值	实验值	相对误差 %
	MgO	SiO <sub>2</sub>	B <sub>2</sub> O <sub>3</sub>			
1	40	30	30	61.6	66.9	8.0
2	45	25	30	76.4	73.4	3.9
3	45	30	25	76.4	75.4	1.3
4	50	20	30	85.0	80.4	5.7
5	50	25	25	84.9	88.0	3.5
6	50	30	20	85.0	86.8	1.8
7	52	23	25	86.3	87.4	1.3
8	53	22	25	86.6	89.6	3.3
9	54	26	20	86.6	89.5	3.3
10	55	15	30	85.8	88.6	3.2
11	55	20	25	87.8	91.2	3.7
12	55	25	20	87.8	91.6	4.1
13	55	30	15	85.8	91.1	5.8
14	55	28	17	86.1	91.7	6.1
15	55	18	27	86.2	88.8	2.9
16	56	24	20	85.8	89.2	3.8
17	57	28	15	83.8	82.7	1.3
18	60	15	25	80.7	82.3	1.9
19	60	20	20	81.4	74.1	9.4

### 3.2 氧化物的影响

氧化物在渣中的作用由其物理化学性质决定<sup>[4~6]</sup>。酸性氧化物如 $\text{SiO}_2$ 、 $\text{B}_2\text{O}_3$ 是以其共价

$$\Delta G^{\circ}_{(3\text{MgO}\cdot\text{B}_2\text{O}_3)} = -147.0 - 29.34 \times 10^{-3} \cdot T \quad (4)$$

$$( \text{kJ/mol} ) \quad (4)$$

$$\Delta G^{\circ}_{(2\text{MgO}\cdot\text{B}_2\text{O}_3)} = -139.6 + 3.93 \times 10^{-3} \cdot T \quad (5)$$

$$( \text{kJ/mol} ) \quad (5)$$

XRD 分析结果证实,  $2\text{MgO} \cdot \text{B}_2\text{O}_3$  和  $2\text{MgO} \cdot \text{SiO}_2$  连线附近的组成以  $2\text{MgO} \cdot \text{B}_2\text{O}_3$  形式析出, 硼提取率高;  $3\text{MgO} \cdot \text{B}_2\text{O}_3$  和  $2\text{MgO} \cdot \text{SiO}_2$  连线附近的组成以  $3\text{MgO} \cdot \text{B}_2\text{O}_3$  形式析出, 硼提取率比前者略低。偏离  $2\text{MgO} \cdot \text{B}_2\text{O}_3$  和  $2\text{MgO} \cdot \text{SiO}_2$  连线较远的 1 号, 主要以玻璃态存在, 硼提取率很低。

### 3.3 碱度与硼提取率关系

碱度是反映渣酸碱性相互关系的重要参数, 通常渣碱度以  $\sum \text{碱性氧化物} / \sum \text{酸性氧化物}$  的比值来表示<sup>[7]</sup>。本文碱度取  $R = \text{MgO} / (\text{B}_2\text{O}_3 + \text{SiO}_2)$ , 据此绘出硼提取率与碱度间的关系(图 3)。由图可见, 当碱度为 1.2 时, 硼提取率最高。参照图 1,  $R$  为 1.2 时, 各组成点均位于  $2\text{MgO} \cdot \text{B}_2\text{O}_3$  和  $2\text{MgO} \cdot \text{SiO}_2$  连线附近。XRD 证实, 该碱度下渣的组成相主要为  $2\text{MgO} \cdot \text{B}_2\text{O}_3$  和  $2\text{MgO} \cdot \text{SiO}_2$ 。由前分析知, 硼以  $2\text{MgO} \cdot \text{B}_2\text{O}_3$  形态存在时, 硼提取率高。

碱度在 1.0~1.2 之间的各组成点, 处于相图中  $2\text{MgO} \cdot \text{B}_2\text{O}_3$ — $2\text{MgO} \cdot \text{SiO}_2$ — $\text{MgO} \cdot \text{SiO}_2$  三角形区域内, 硼主要以  $2\text{MgO} \cdot \text{B}_2\text{O}_3$  形态存在, 硼提取率也较高。

碱度小于 1.0 时, 各点位于  $2\text{MgO} \cdot \text{B}_2\text{O}_3$ — $\text{MgO} \cdot \text{SiO}_2$ — $\text{SiO}_2$  区域内, 以玻璃相为主, 硼提取率低。

碱度大于 1.2 的各点处于  $2\text{MgO} \cdot \text{B}_2\text{O}_3$ — $2\text{MgO} \cdot \text{SiO}_2$ — $3\text{MgO} \cdot \text{B}_2\text{O}_3$  三角形区域内, XRD 证实, 硼主要以  $3\text{MgO} \cdot \text{B}_2\text{O}_3$  形态存在, 故硼提取率稍低些。

## 4 结论

(1)  $\text{MgO} \cdot \text{B}_2\text{O}_3 \cdot \text{SiO}_2$  三元相图中组成在  $2\text{MgO} \cdot \text{B}_2\text{O}_3$  和  $2\text{MgO} \cdot \text{SiO}_2$  以及  $3\text{MgO} \cdot \text{B}_2\text{O}_3$  和  $2\text{MgO} \cdot \text{SiO}_2$  连线附近, 硼提取率高。组成愈偏离  $2\text{MgO} \cdot \text{B}_2\text{O}_3$  和  $2\text{MgO} \cdot \text{SiO}_2$  连线, 硼提

(下转 44 页)

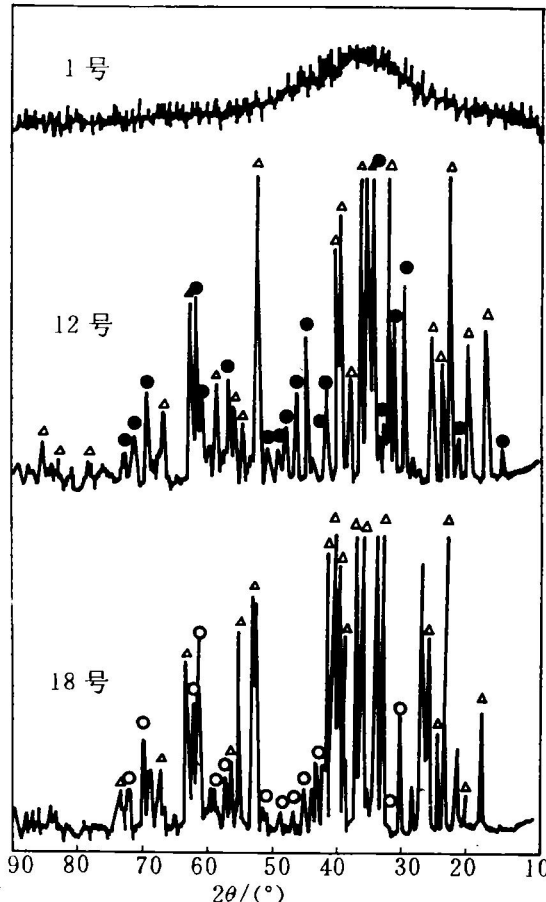


图 2 X 射线衍射图谱

○— $3\text{MgO} \cdot \text{B}_2\text{O}_3$ ; ●— $2\text{MgO} \cdot \text{B}_2\text{O}_3$ ;  
△— $2\text{MgO} \cdot \text{SiO}_2$

键为主的网络形成氧化物, 易形成链状或环状网络结构, 以玻璃(非晶)态存在, 使进入网络中的硼的化学位降低, 稳定性提高, 难浸出, 因此硼提取率低。相反, 碱性氧化物  $\text{MgO}$  是离子键网络改性氧化物, 它存在于渣中促使  $\text{Si}-\text{O}-\text{Si}$  和  $\text{B}-\text{O}-\text{B}$  共价键断裂, 破坏玻璃相的网络结构, 有利于硼以  $2\text{MgO} \cdot \text{B}_2\text{O}_3$  或  $3\text{MgO} \cdot \text{B}_2\text{O}_3$  结晶相析出, 易浸出, 硼提取率高。

关于  $3\text{MgO} \cdot \text{B}_2\text{O}_3$  和  $2\text{MgO} \cdot \text{B}_2\text{O}_3$  的化学稳定性, 根据文献报道<sup>[3]</sup>, 在 900~1300 K 范围的标准反应自由能与温度关系分别为式(4)、(5)所示。显然,  $3\text{MgO} \cdot \text{B}_2\text{O}_3$  的化学稳定性比  $2\text{MgO} \cdot \text{B}_2\text{O}_3$  高, 即使外推到浸出温度也具有同样规律。

吸附,  $\Delta H_{\text{吸}} = 53.31 \text{ kJ/mol}$  与期望值 ( $> 44.34 \text{ kJ/mol}$ , 且超过不多) 相符, 我们认为, 活性炭吸附铼 ( $\text{ReO}_4^-$ ) 就是物理吸附。

比较(2)式与(3)式的计算结果, 可知(2)式的比(3)式的低 8.4%, 亦即与期望值相符。所以, 可用(2)式判断活性炭吸附铼 ( $\text{ReO}_4^-$ ) 的性质, 且方法简捷。

### 3 结论

(1) 高铼酸铵 ( $\text{NH}_4\text{ReO}_4$ ) 15 °C 时的溶解热,  $\Delta H_{\text{溶}} = -44.34 \text{ kJ/mol}$ 。

(2) 直接量热法测得, 15.5 °C 时活性炭吸附铼的放热量  $\Delta H_{\text{吸}} = 53.31 \text{ kJ/mol}$ 。

(3) 将活性炭吸附铼的热量 (53.31 kJ/mol) 与高铼酸铵溶解热的绝对值 (44.34 kJ/mol) 相比较, 可以说明活性炭吸附铼 ( $\text{ReO}_4^-$ )

在常温下属于物理吸附。

### 参考文献

- 1 全国稀有金属情报网编. 国外稀有金属公司和工厂, 1984.
- 2 泽列克曼 A H 等著. 稀有金属冶金学. 北京: 冶金工业出版社, 1982. 332, 325.
- 3 陈德林等. 中国有色金属学报, 1993, 1: 94.
- 4 罗登源等编. 物理化学实验. 北京: 人民教育出版社, 1980, 3: 33.
- 5 株州冶炼厂编. 有色冶金中元素的分离与测定. 北京: 冶金工业出版社, 1979. 368, 388.
- 6 程兰征等编. 物理化学. 上海: 上海科学技术出版社, 1981. 16, 220.
- 7 顾庆超等编. 化学用表. 南京: 江苏科学技术出版社, 1979. 667.
- 8 戴安邦等编. 无机化学教程(上册). 北京: 人民教育出版社, 1964. 185.

(上接 40 页)

结果相吻合。

(3) 在硼渣组成范围内, 碱度为 1.2 附近, 硼提取率高。

### 参考文献

- 1 Sui Zhitong, Zhang Peixin et al. In: Proc of China-U. S. A Bilateral Conference. Shenyang: 1993, 5.
- 2 张培新, 娄海玲, 隋智通. 见: 首届中国有色金属冶金青年学术研讨会论文集. 长沙: 1993, 10.
- 3 Hauck D. und Muller Fuanz. Zeitschrift fur Physikalische Chemie Neue Folge, Bd 118, 1979, 79—87.
- 4 Bonswirth C, Bell H N. Physical Chemistry of Iron and Steel Manufacture. London: 1972.
- 5 郭贻诚, 王震西. 非晶态物理学. 科学出版社, 1984.
- 6 Turkdogan E T. Physical Chemistry of High Temperature Technology. Academic Press, 1980.
- 7 TERKEL ROSENQVIST. Principles of Extractive Metallurgy. Kingsport Press, 1974.

取率愈低。

(2) 硼提取率与组成之间的关系可用数学模型定量描述, 本文所建立的数学模型与实验

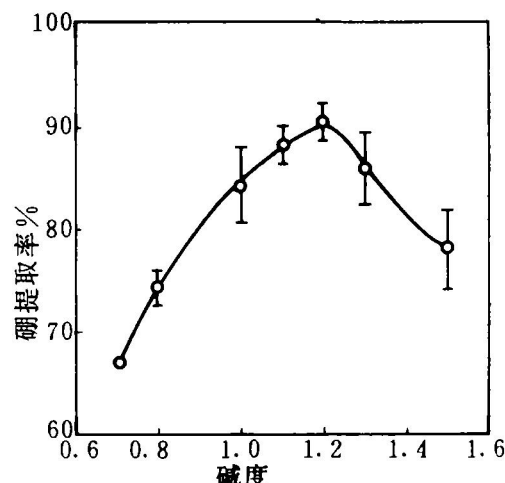


图 3 硼提取率与碱度的关系